

# **Perturbation du répertoire des lymphocytes T $\alpha\beta$ Application au neuropaludisme murin**

Encarnita Ferrandiz

Adrien Six

Université Pierre et Marie Curie  
et Institut Pasteur, Paris

17 novembre 2004

# Plan

## 1- Paludisme chez l'homme

## 2- Implication du SI- modèles murins

## 3- Objectifs de l'étude

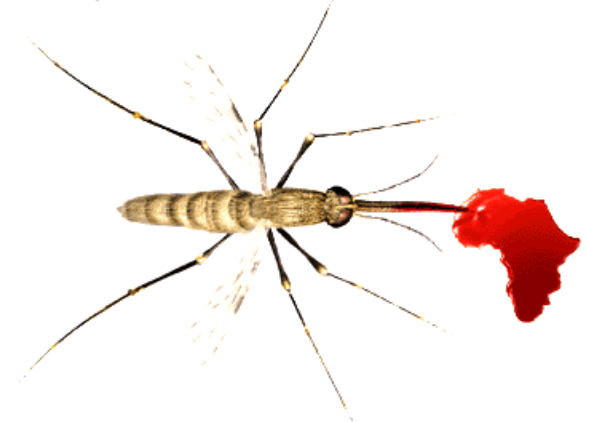
## 4- Protocole expérimental

## 5- Stratégie Immunoscope/ISEApeaks

## 6- Résultats

## 7- Perspectives

VOILÀ UNE ARME DE DESTRUCTION MASSIVE  
QUI N'INTÉRESSE PERSONNE.



LE PALUDISME TUE PRES DE 2 MILLIONS D'AFRICAINS PAR AN.  
ENSEMBLE, ARRÊTONS CETTE HECATOMBE.

### Données Cliniques

2 milliards d'individus vivent dans les zones endémiques (à risque)

300-500 millions d'individus infectés par an

1-2 millions de décès annuels

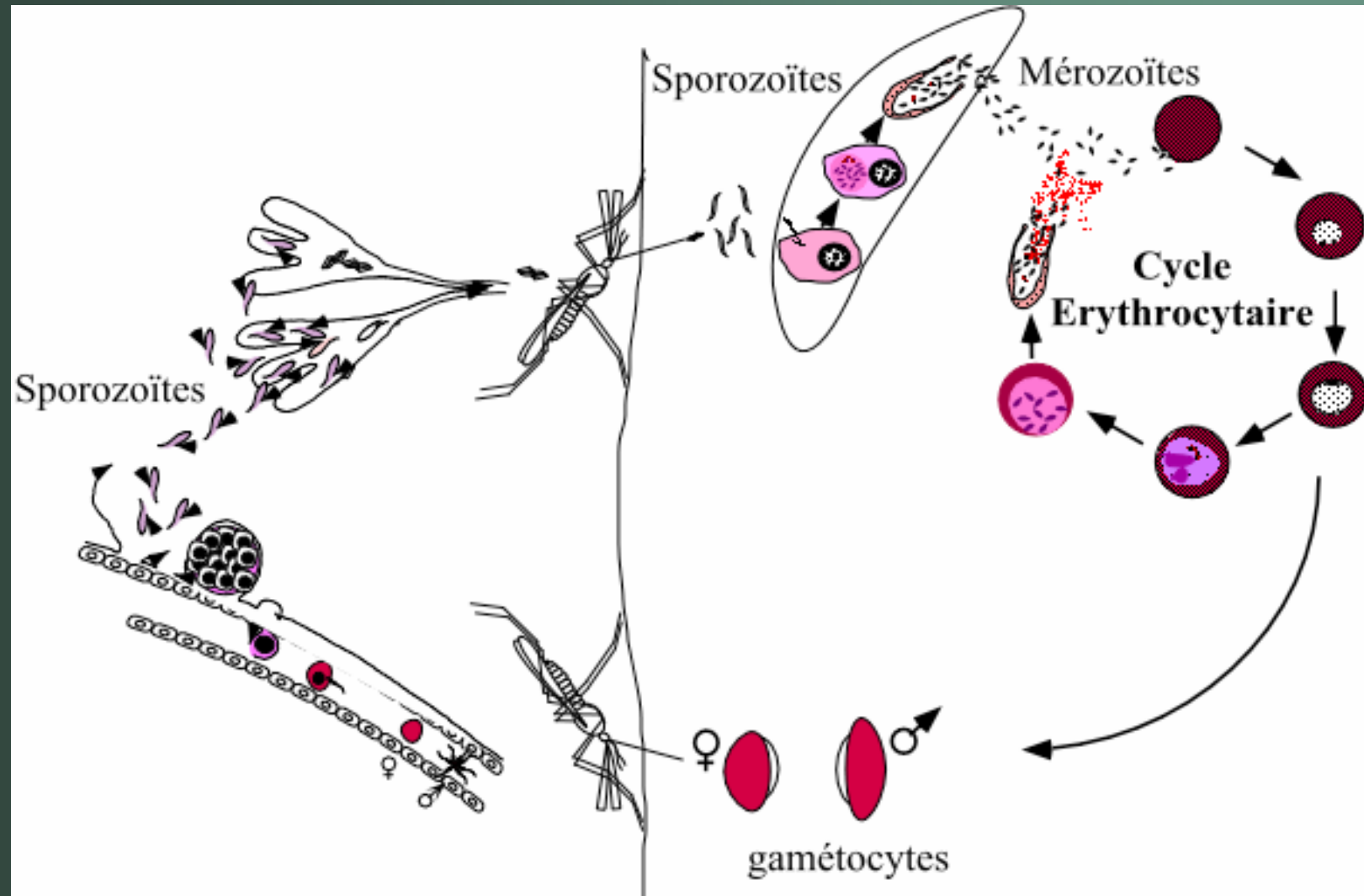
Les enfants Africains de moins de 5 ans et les femmes enceintes sont les plus touchés

## Neuropaludisme

Complication liée à l'infection par *Plasmodium falciparum*

Mortalité: 10 à 30 % des cas

# Cycle du parasite *Plasmodium*



# Plan

1- Paludisme chez l'homme

2- Implication du SI- modèles murins

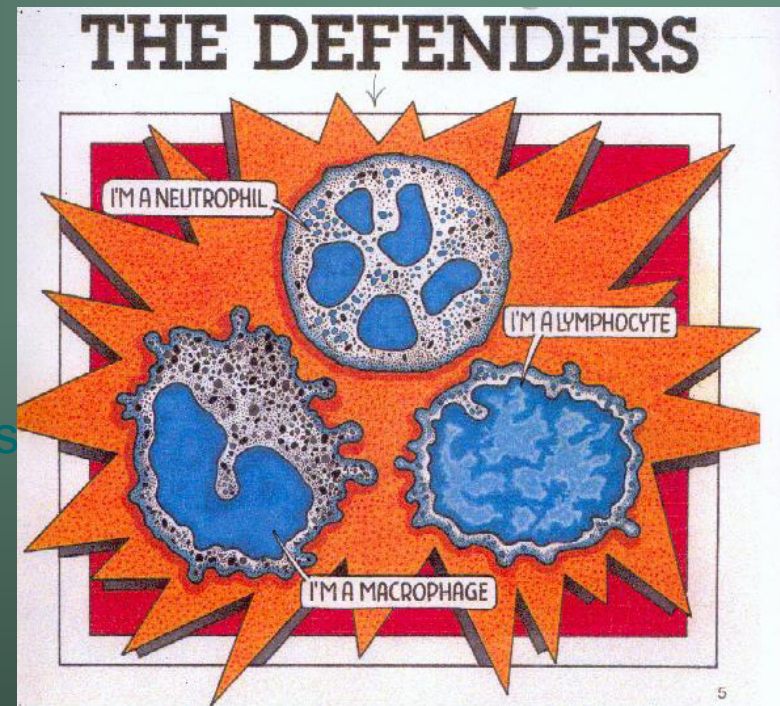
3- Objectifs de l'étude

4- Protocole expérimental

5- Stratégie Immunoscope/ISEApeaks

6- Résultats

8- Perspectives



## 2-Implication du Système Immunitaire-modèles murins

### **Lymphocytes T et Neuropaludisme (NP):**

- dépletion  $T_{\alpha\beta}$   $CD4^+$  et/ou  $CD8^+$  protège contre le NP
- $T_{\alpha\beta}$   $CD8^+$  observés au niveau de l'endothélium vasculaire cérébral

### **Neuropaludisme expérimental chez la souris:**

- infection de souris B10.D2 avec le clone 1.49 L de *P. berghei*  
*ANKA*
- similarités physiopathologiques avec l'infection chez l'homme par *P. falciparum*
- modification du répertoire des lymphocytes du sang chez les souris en neuropaludisme (CM+) par rapport aux souris non infectées ou ne développant pas de désordres neurologiques

# Plan

1- Paludisme chez l'homme

2- Implication du SI- modèles murins

3- Objectifs de l'étude

4- Protocole expérimental

5- Stratégie  
Immunoscope/ISEApeaks

6- Résultats

8- Perspectives



### 3- Objectifs de l'étude :

- Estimer la perturbation du répertoire dans sa globalité au cours de l'infection, avant la survenue du neuropaludisme
- Caractériser la nature de cette perturbation
- Comparer la perturbation entre NP+/NP-  
=> pronostic de la survenue du NP ?

# Plan

1- Paludisme chez l'homme

2- Implication du SI- modèles murins

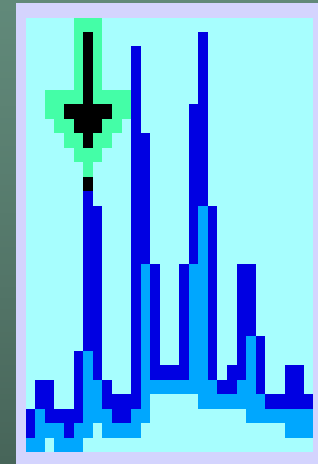
3- Objectifs de l'étude

4- Stratégie Immunoscope/ISEApeaks

5- Protocole expérimental

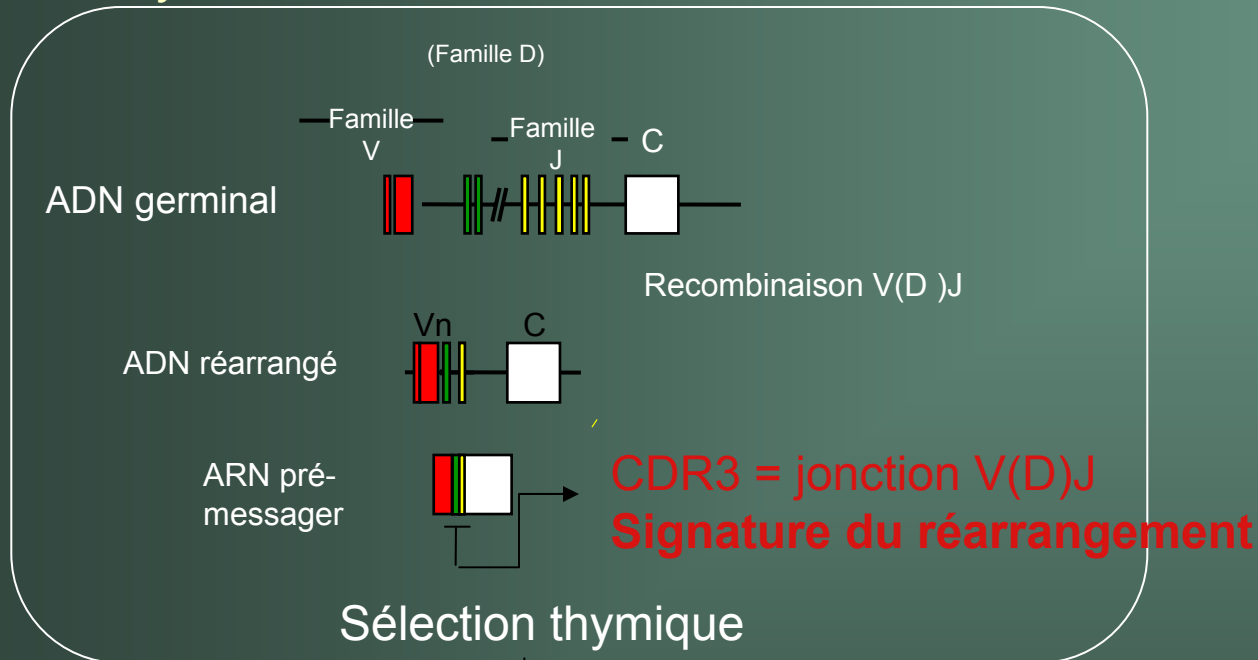
6- Résultats

8- Perspectives



# 5- Stratégie Immunoscope/ISEApeaks

## Thymus



*périphérie*

**répertoire disponible**

**répertoire effecteur**

Sélection

Protéines plasmodiales

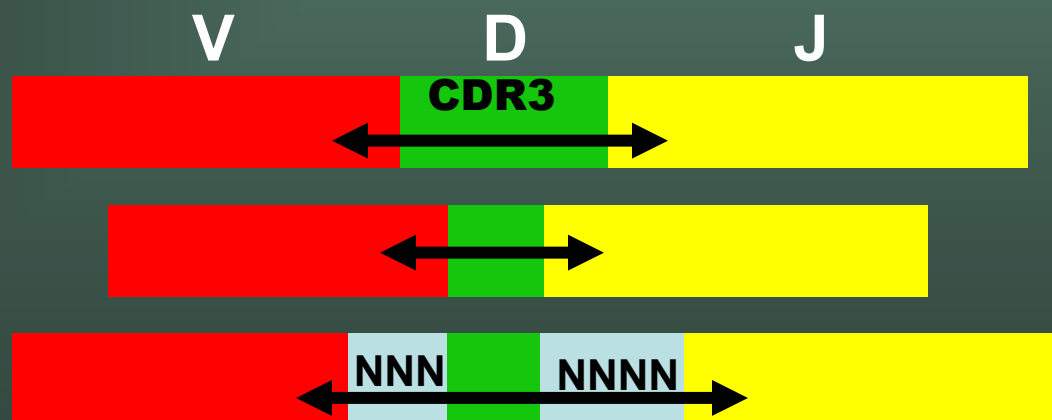
- Antigène
- Superantigène
- Mitogène

## 5- Stratégie Immunoscope/ISEApeaks

### Le CDR3 concentre la majorité de la diversité

#### Diversité du TcR

- Diversité combinatoire = combinaison des segments V(D)J
  - Diversité d'appariement =  $\text{TCR}\alpha/\text{TCR}\beta$ ,  $\text{TCR}\gamma/\text{TCR}\delta$
  - Diversité jonctionnelle = addition aléatoire de nucléotide au niveau de la jonction V(D)J
- la région CDR3 est ainsi variable en séquence et en taille;  
*signature du réarrangement*



# 5- Stratégie Immunoscope/ISEApeaks

## Analyse du répertoire : Stratégie

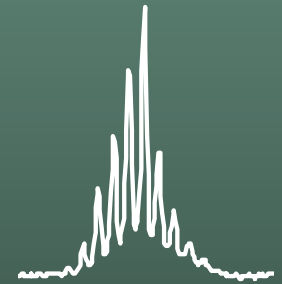


série **PCR TCR BV-BC**  
Produits PCR marqués

**Électrophorèse** en gel d'acrylamide  
(séquenceur automatique)

**Immunoscope**  
Extraction des données

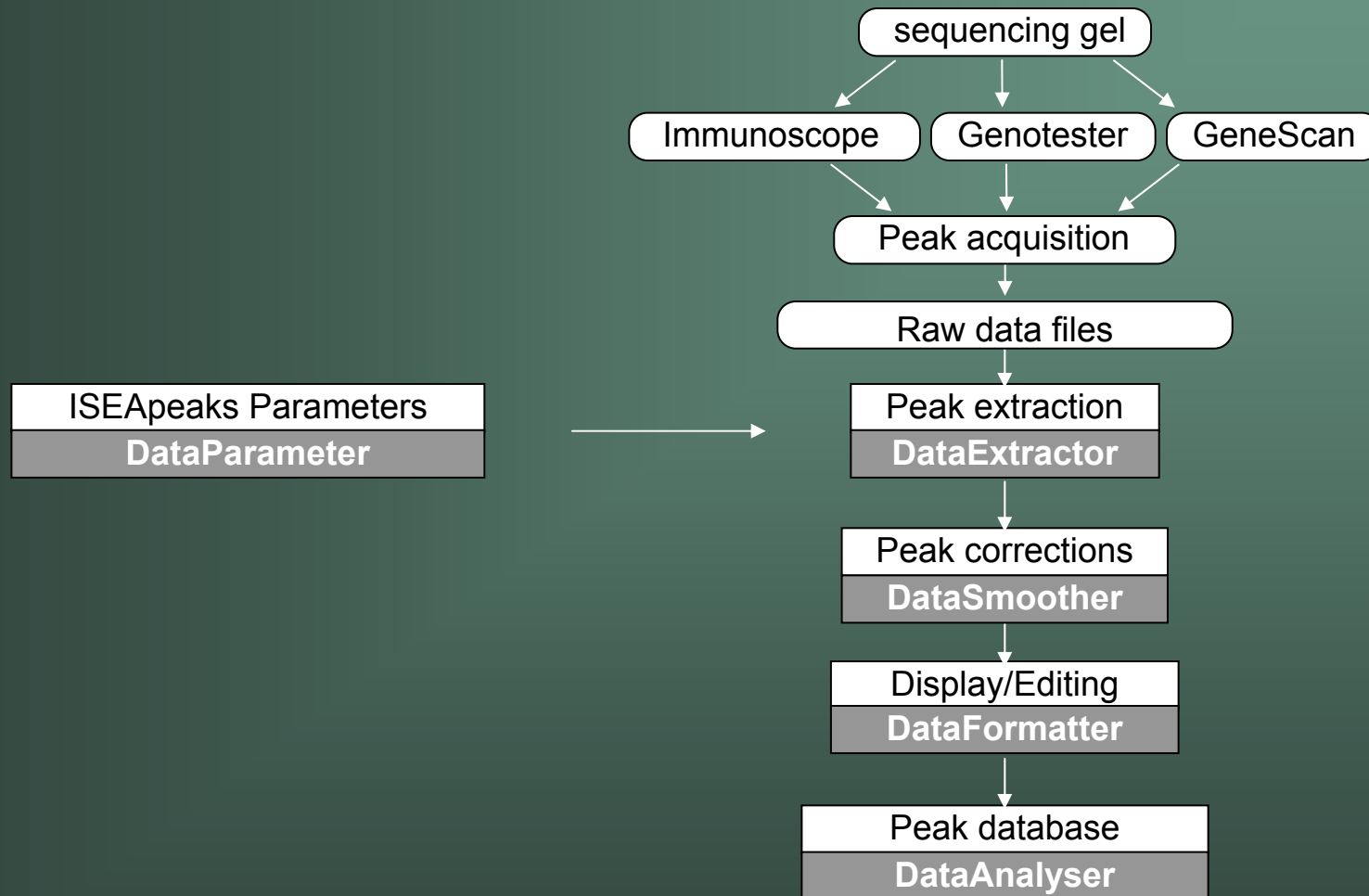
Profil de réarrangements en phase dit "Gaussien" ou **polyclonal**



Profil de réarrangements en phase Irrégulier ou **oligoclonal**

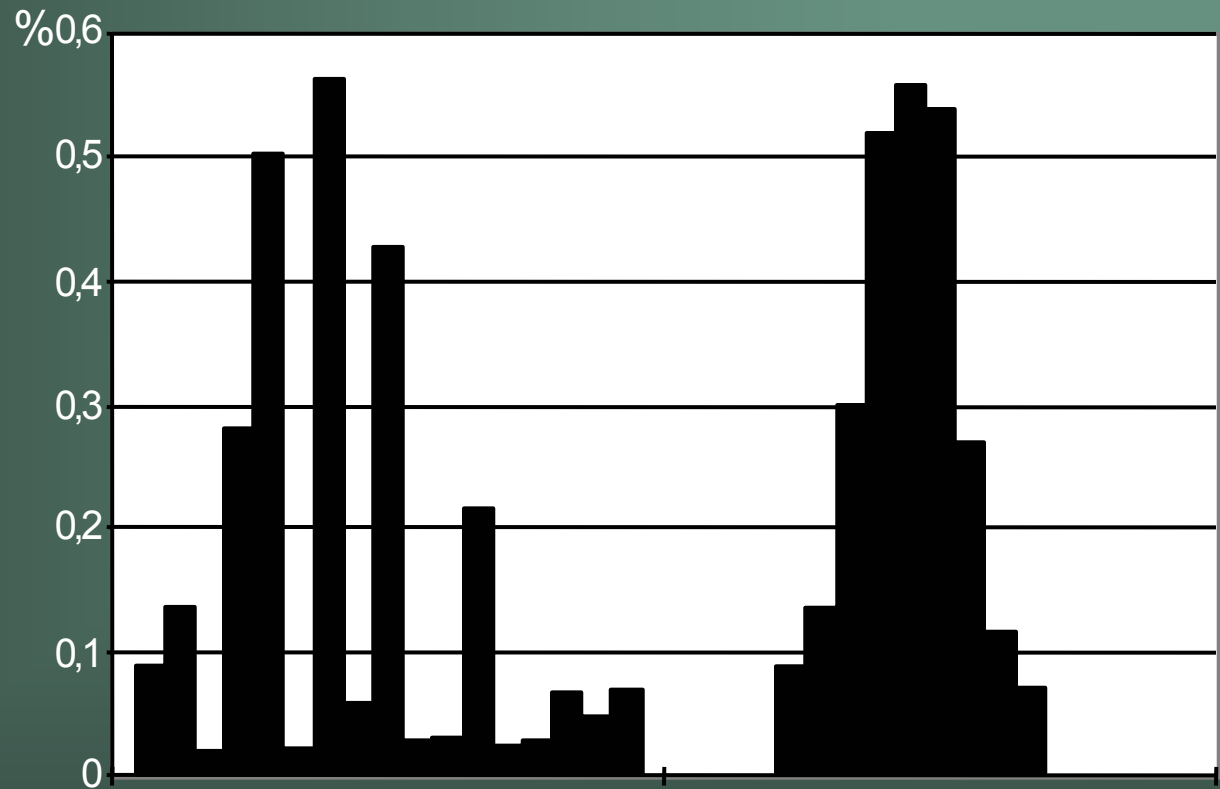
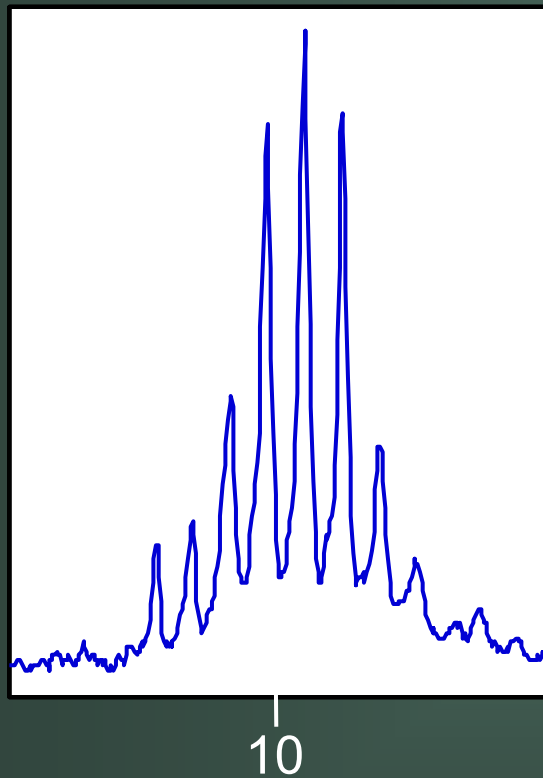


# The ISEApeaks software



# Extraction and smoothing

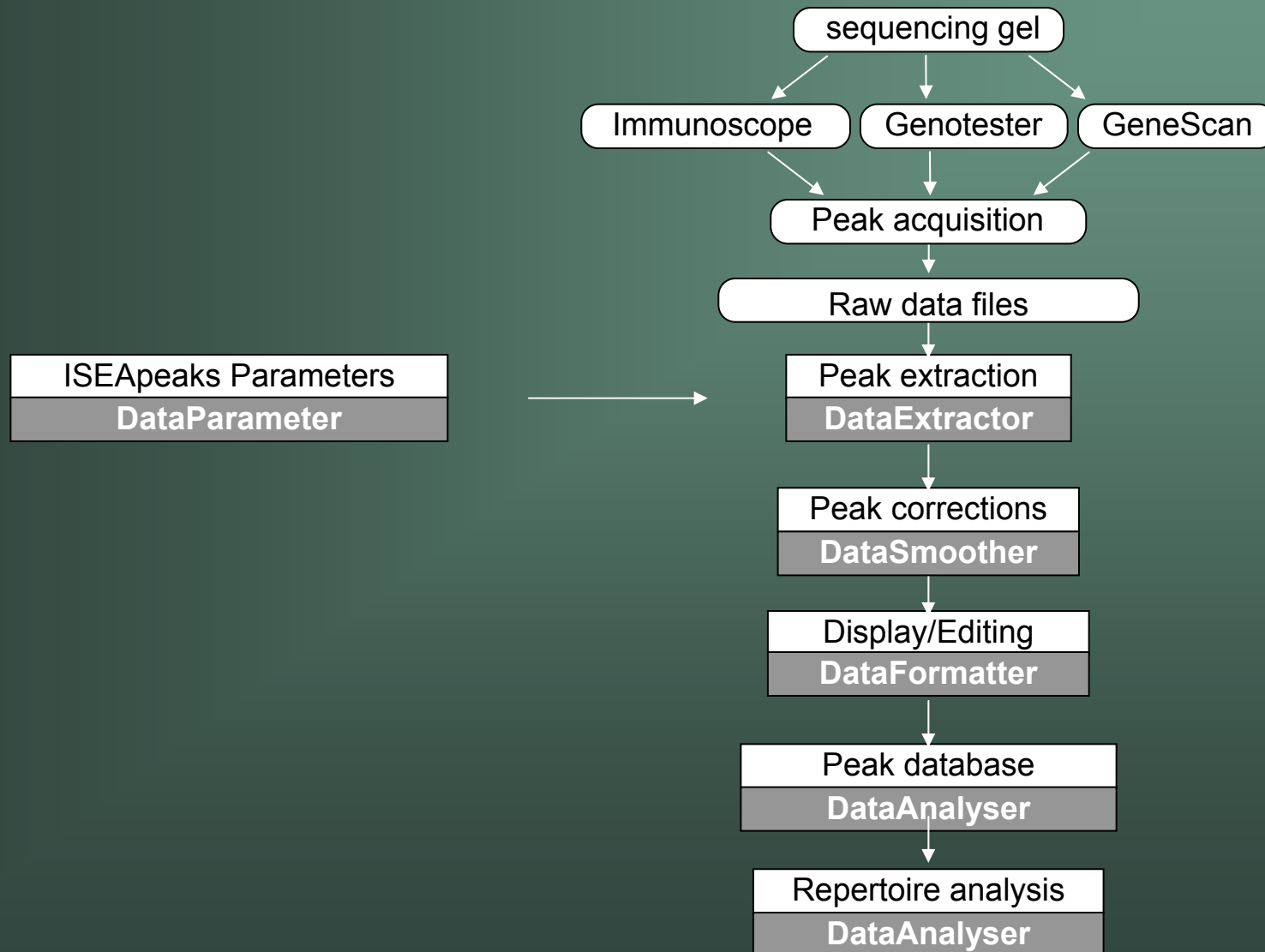
BV9-BC



Before  
smoothing

After  
smoothing

# The ISEApeaks software



# Repertoire analysis methods

## Global repertoire analyses

- Principal component analysis followed by Discriminant Analysis (PCA/DA)
- Distance-based perturbation index  
=> ANOVA/MANOVA and clustering

## Identification of oligoclonal expansions

- Mean repertoire
- Relative Index of Stimulation (RIS)
- Public and private arms of the immune response  
=> OligoScore

# OligoScore (1)

**Determination of the public repertoire directed against the immunoglobulin  $\kappa$  light chain:**

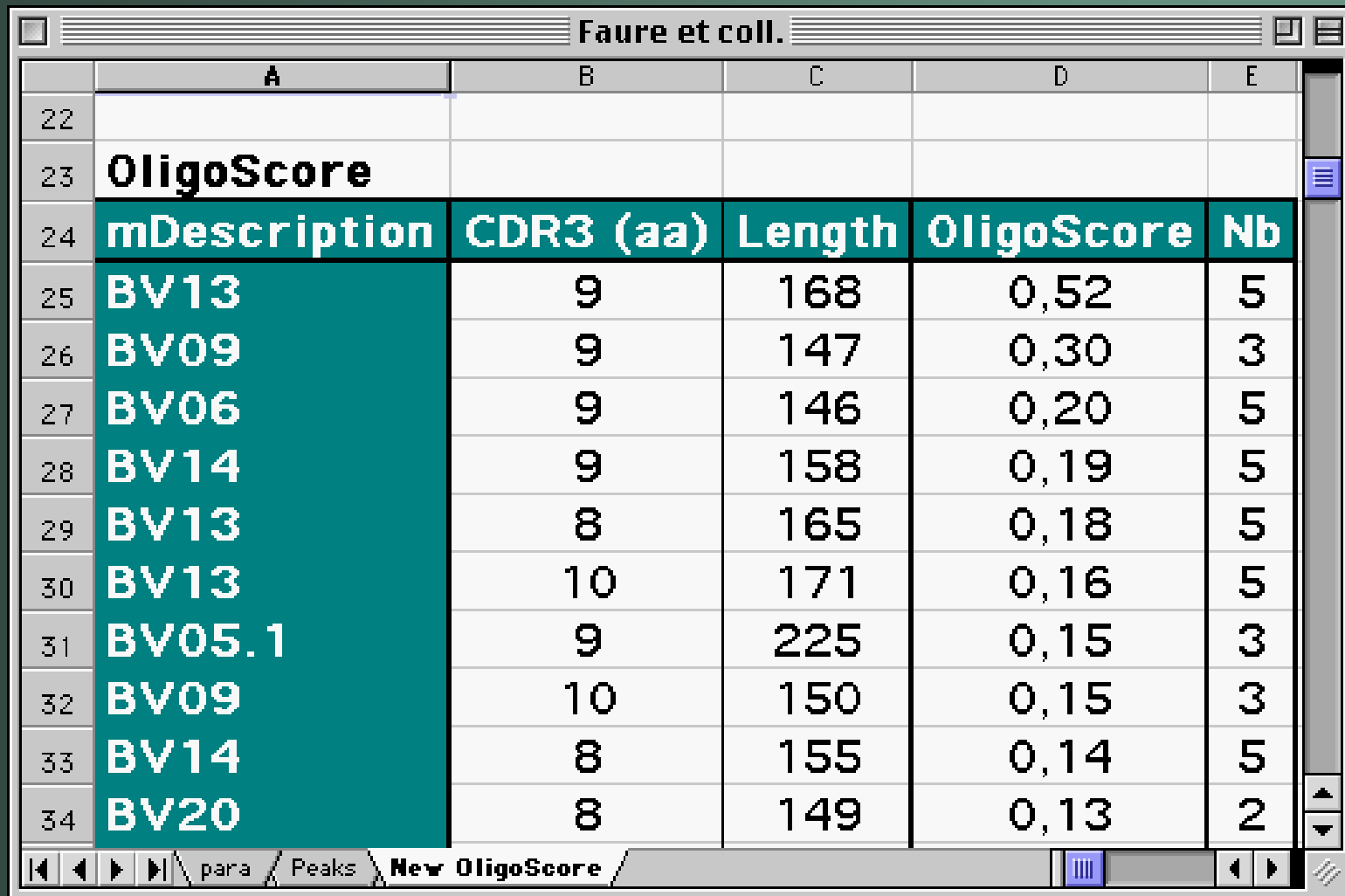
BV-BC repertoire analysis of  $\kappa^{-/-}$  mice immunized with  $\kappa$  light chain

=> selection of BV10, 11, 13, 15 and 18 segments for BV-BJ analysis

Only BV13-BJ2.3 happens to be relevant

BV6-BJ1.4 chosen from another experiment

# OligoScore (2)



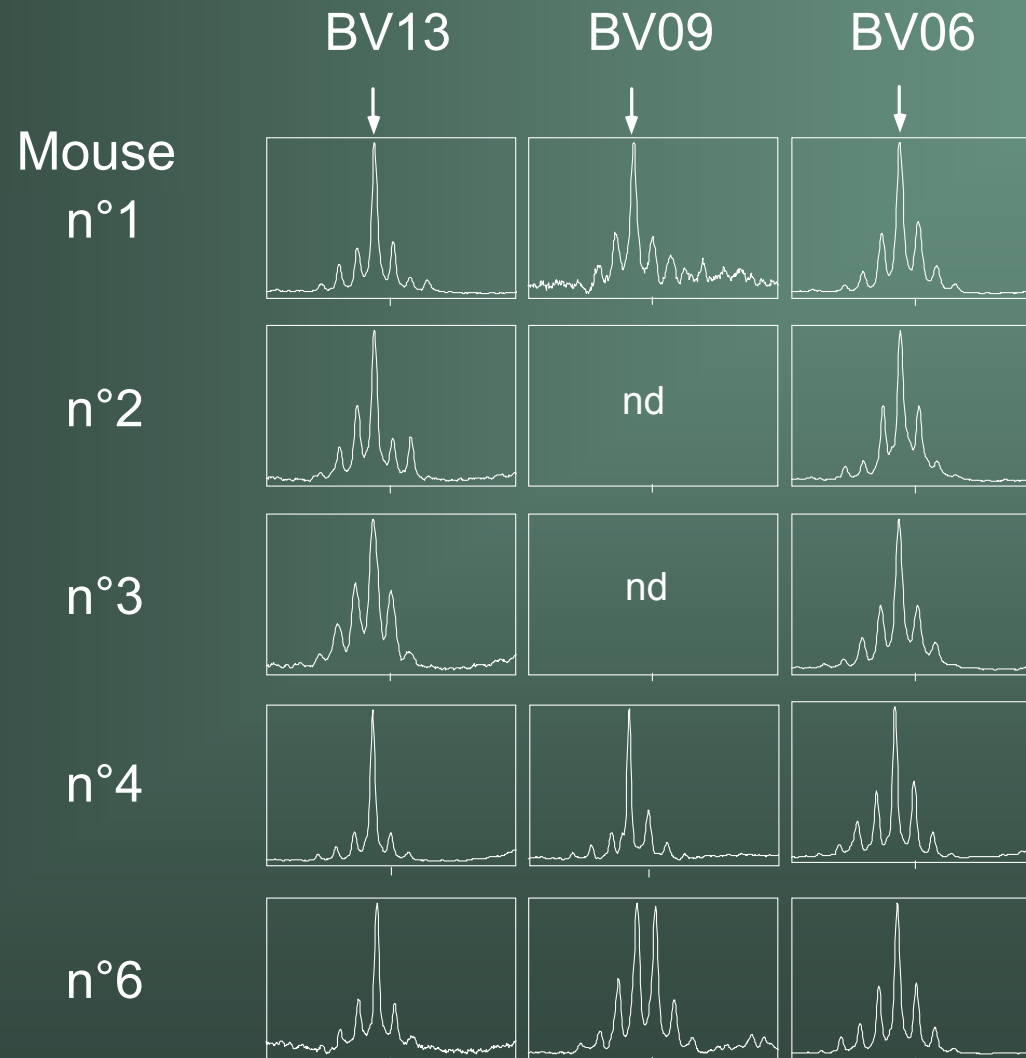
	A	B	C	D	E
22					
23	<b>OligoScore</b>				
24	<b>mDescription</b>	<b>CDR3 (aa)</b>	<b>Length</b>	<b>OligoScore</b>	<b>Nb</b>
25	BV13	9	168	0,52	5
26	BV09	9	147	0,30	3
27	BV06	9	146	0,20	5
28	BV14	9	158	0,19	5
29	BV13	8	165	0,18	5
30	BV13	10	171	0,16	5
31	BV05.1	9	225	0,15	3
32	BV09	10	150	0,15	3
33	BV14	8	155	0,14	5
34	BV20	8	149	0,13	2

Collette et Six, 2002 *Bioinformatics*

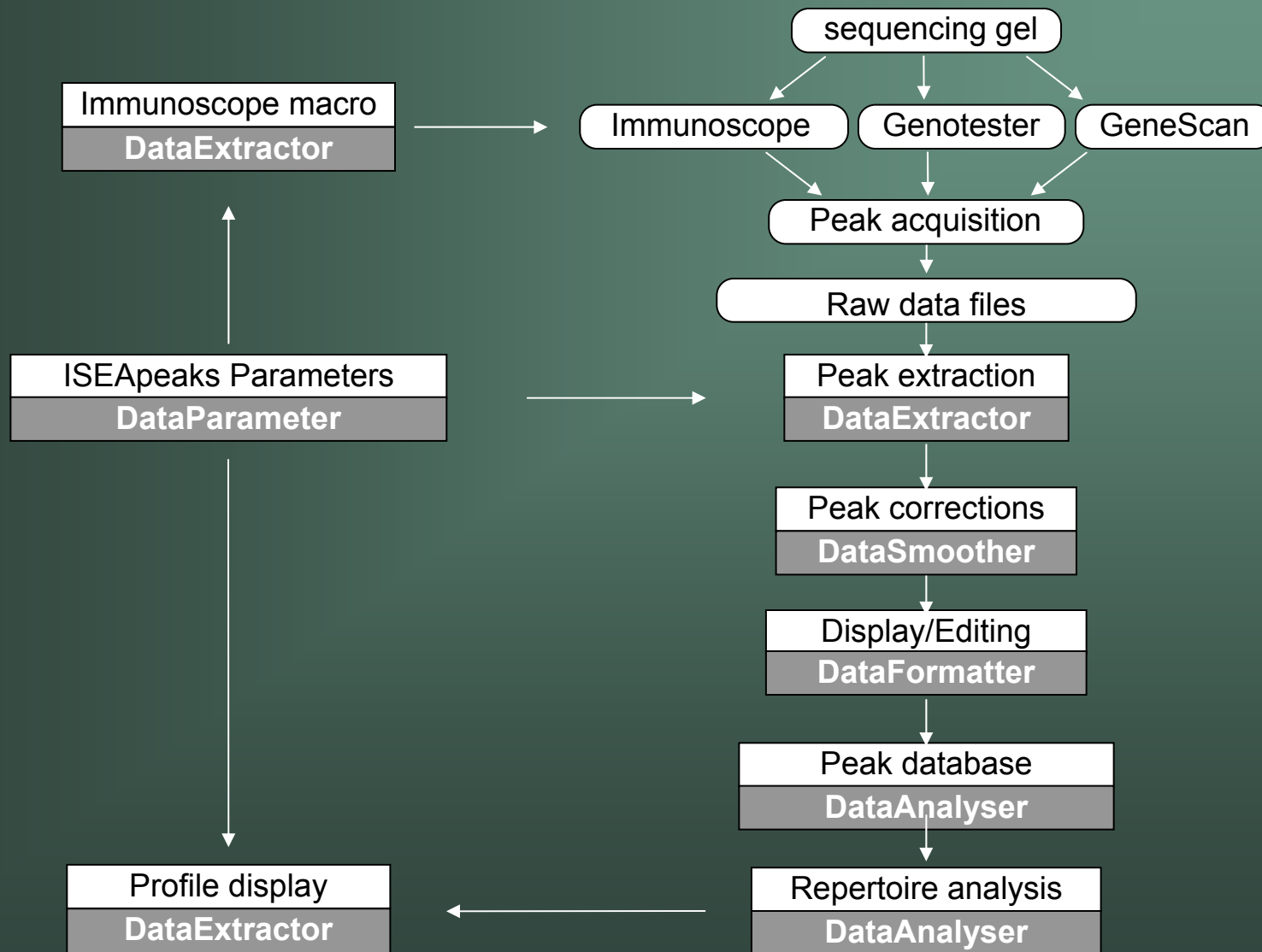
Immunotechnologies 2004 – Module X, 17/12/2004 – Ferrandiz & Six

Original data from Faure *et al.*, 1999 *J. Immunol.*

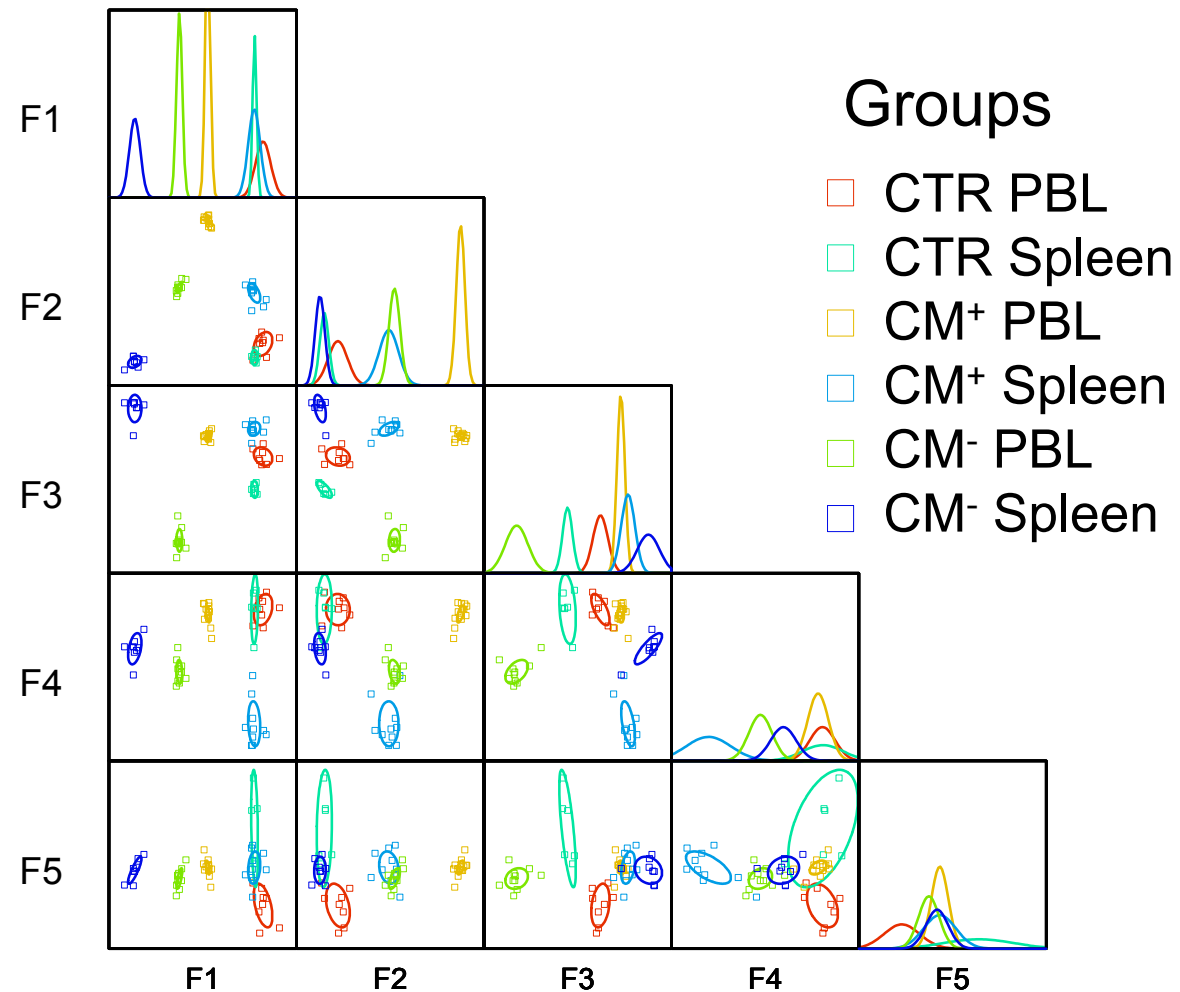
# OligoScore (3)



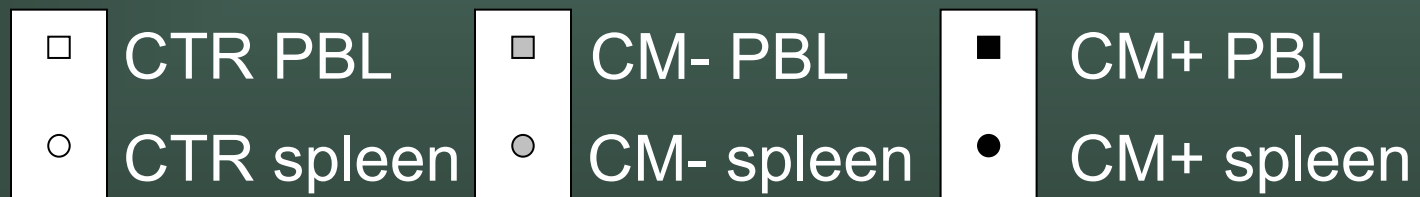
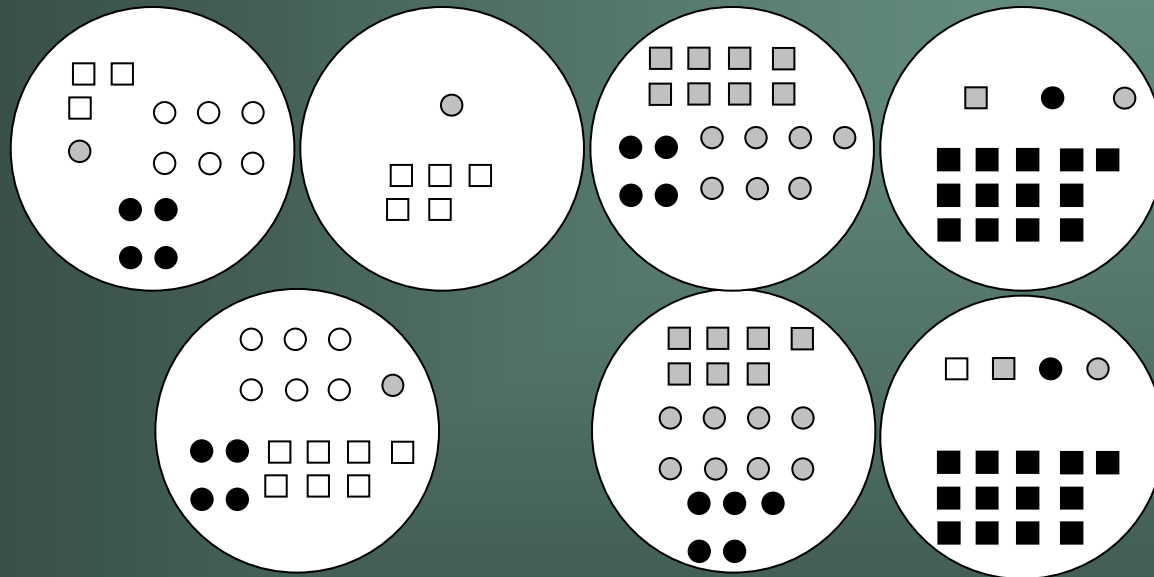
# The ISEApeaks software



# Discriminant Analysis



# k-mean clustering



# 5- Stratégie Immunoscope/ISEApeaks

## Analyse du répertoire : Stratégie



série PCR TCR BV-BC  
Produits PCR marqués

**Électrophorèse** en gel d'acrylamide  
(séquenceur automatique)

**Stratégie ISEApeaks**

Base de données de pics

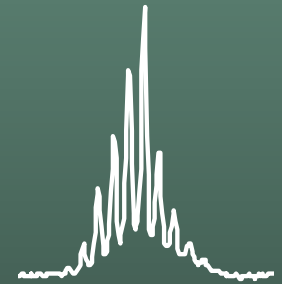
Estimation de la perturbation:

- **Index Gorochov** -> perturbation globale
- **Index Oligoscore** -> récurrence oligoclonale

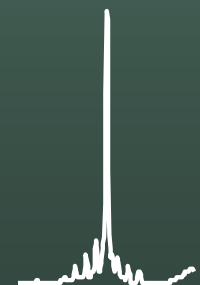
**Analyse Statistique**  
(ANOVA, Test de Fischer, ...)

**Immunoscope**  
Extraction des données

Profil de réarrangements en phase dit "Gaussien" ou **polyclonal**



Profil de réarrangements en phase Irrégulier ou **oligoclonal**



# Plan

1- Paludisme chez l'homme

2- Implication du SI- modèles murins

3- Objectifs de l'étude

4- Stratégie Immunoscope/ISEApeaks

**5-Protocole expérimental**

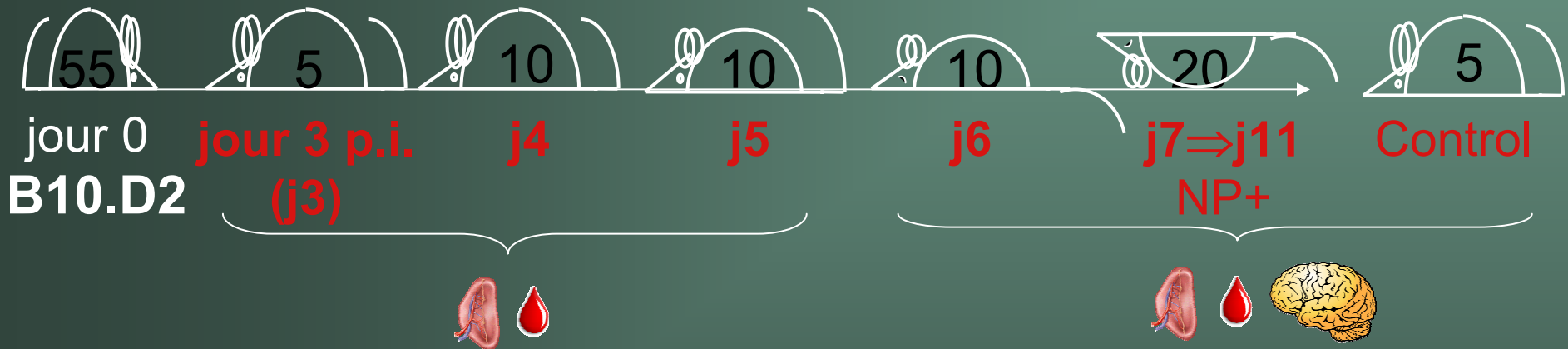
6- Résultats

7- Perspectives



## 5- Protocole expérimental

10<sup>6</sup> Globules  
rouges parasités  
par PbA



rate, sang et cerveau

Isolement des lymphocytes  
Extraction des ARN  
Synthèse des ADNc  
Stratégie Immunoscope/ISEApeaks

# Plan

1- Paludisme chez l'homme

2- Implication du SI- modèles murins

3- Objectifs de l'étude

4- Stratégie  
Immunoscope/ISEApeaks

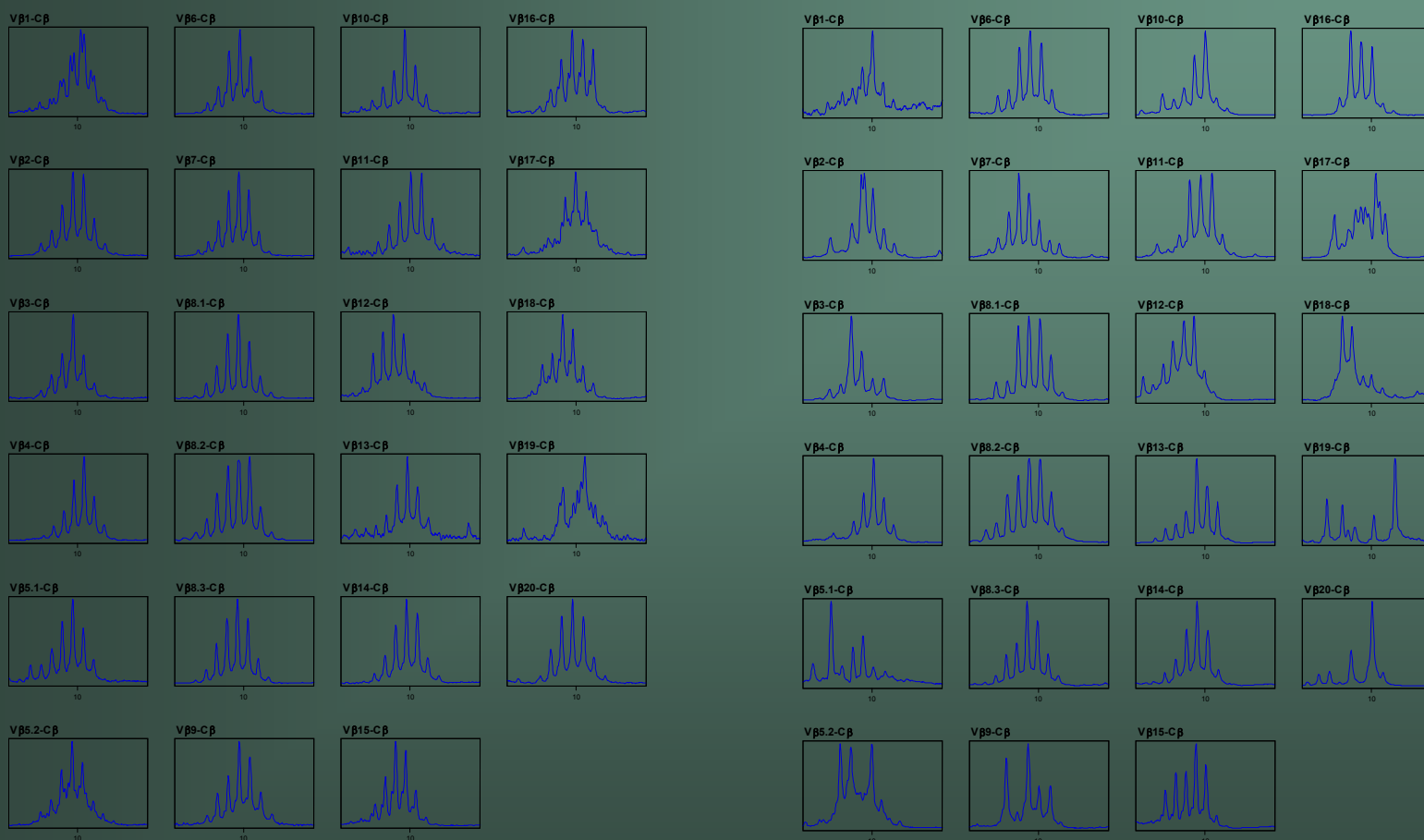
5- Protocole expérimental

**6- Résultats**

7- Perspectives



## Répertoires des PBL B10.D2

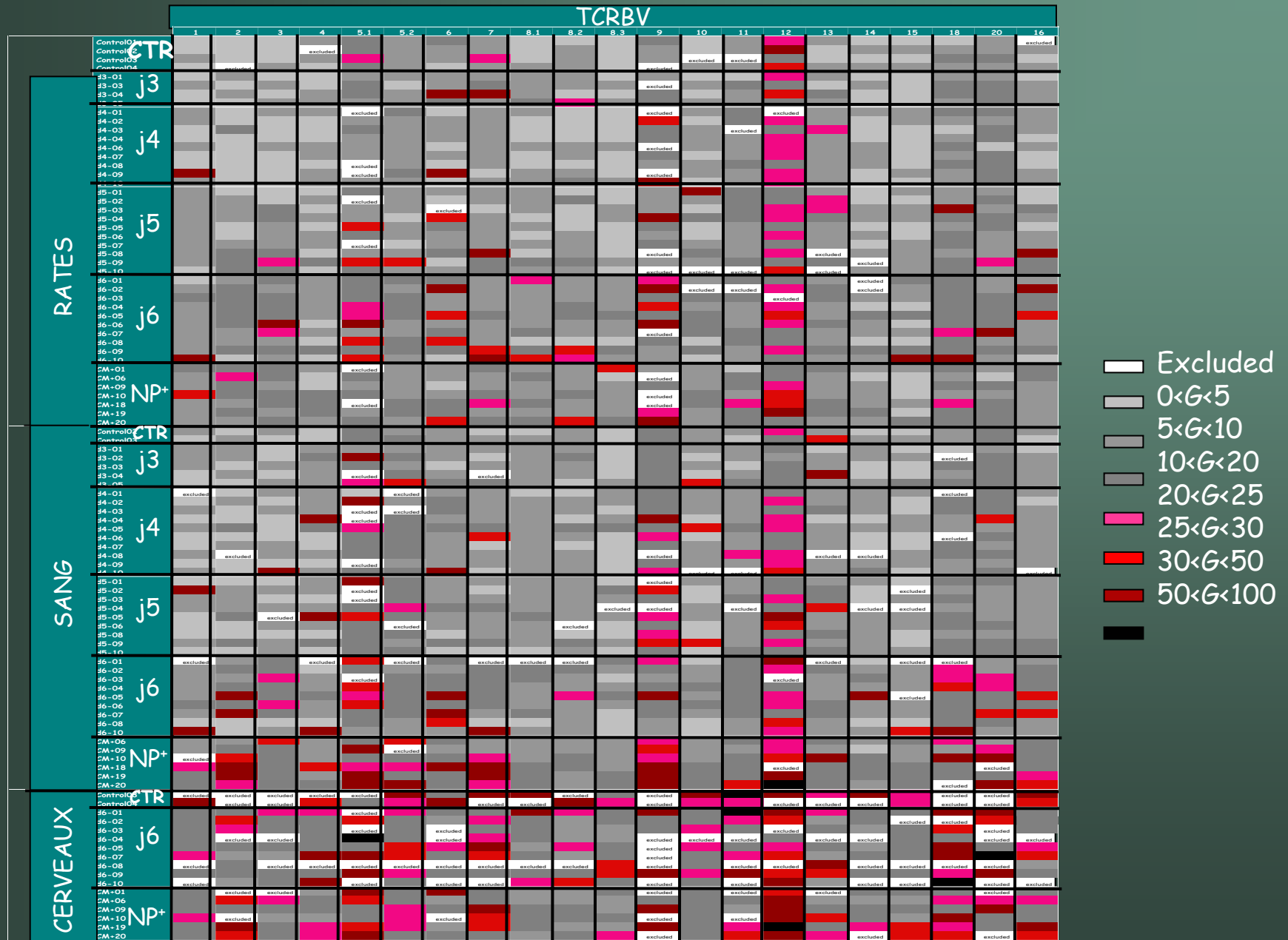


contrôle

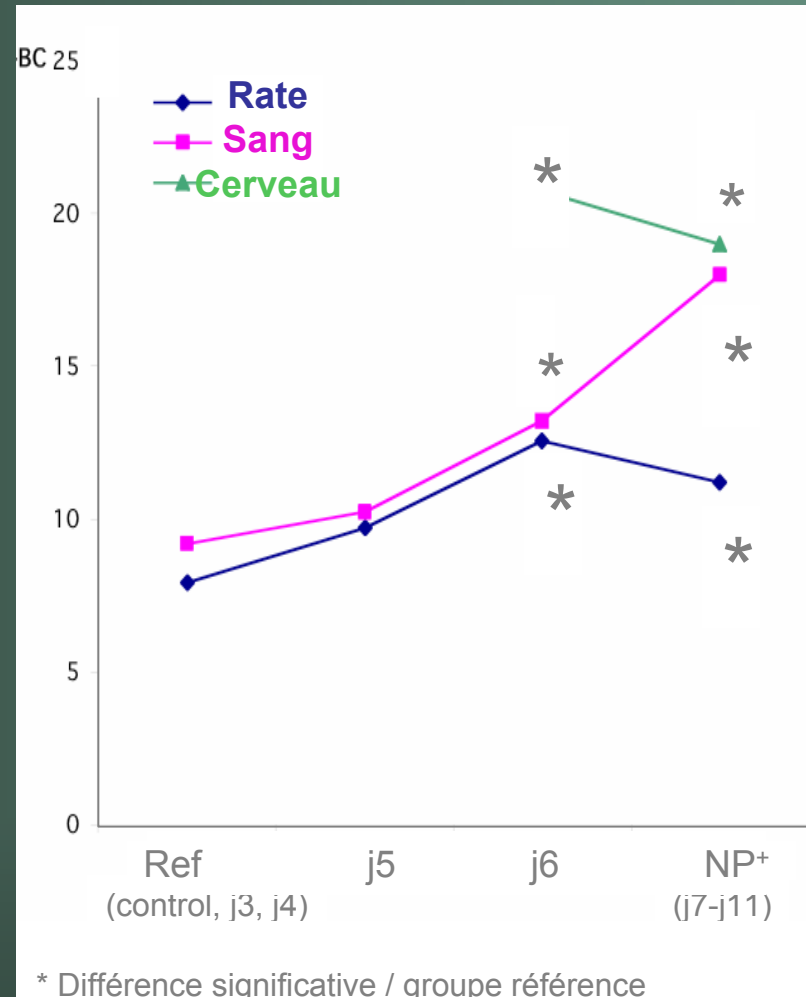
NP+

# Draw Array

# 6- Résultats

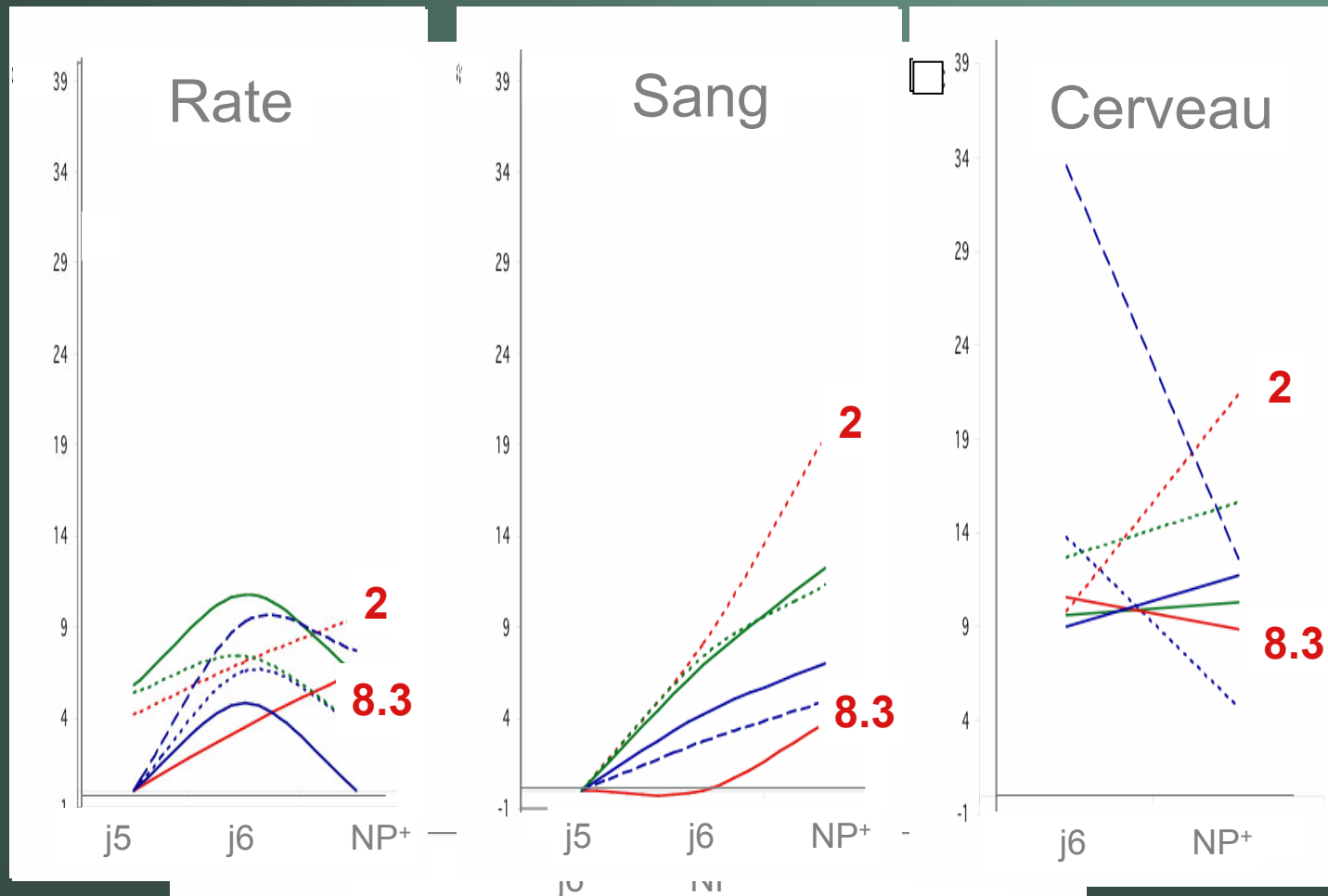
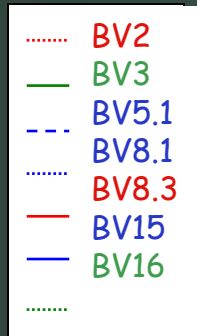


## % de la perturbation globale Gorochov



⇒ **Perturbation significative à j6 & confirmation de nos observations précédentes pour les groupes contrôles et NP<sup>+</sup>.**

% de la perturbation Gorochov par V $\beta$



⇒ Perturbation progressive du répertoire des lymphocytes T au cours du temps et en fonction des compartiments

# Plan

1- Paludisme chez l'homme

2- Implication du SI- modèles murins

3- Objectifs de l'étude

4-Stratégie  
Immunoscope/ISEApeaks

5- Protocole expérimental

6- Résultats

7- Perspectives



### Finaliser cette étude

- Analyse du répertoire BV-BJ repertoire
- Caractérisation de la nature des perturbations
- Séquençage

### Préciser les résultats dans le cerveau

- Focalisation sur certains V $\beta$
  - Méthodes alternatives
- => Caractérisation des récurrences identifiées

### Caractérisation des différences entre NP<sup>+</sup>/NP<sup>-</sup>

- lignée B10.D2 -> augmenter le nombre de souris par groupe
- Envisager une combinaison alternative du couple clone parasite/lignée de souris

# Remerciements

## Immunophysiopathologie infectieuse

Institut Pasteur (Paris)

Directeur: Pierre-André Cazenave

Responsable de thèse : Adrien Six



Olivier Gorgette



Sylviane Pied



Valérie Soulard



Sophie Dulauroy



Anne-Laurence Blanc

